

液状化の検証

資料-4

1. 検証位置

(1) 検証位置図

表4-1、図4-1に示す位置の既往の地質調査資料を

用い、液状化の検証を実施した。 表4-1 検証箇所一覧

地区	検討位置	地区	検討位置
地震計位置	旭市役所	海上	UK-1
	飯岡支所		HA-1
	東足洗		HA-2
	海上支所		
旭	干潟支所		
	旭中央病院		
	日の出保育所		
	中谷里	NK-1	
三川	神宮寺浜	JG-S-1	
	中谷里浜	NH-S-1	
	足川浜	AH-1	
	椎名内	SN-S-1	
蛇園	HB-S-1		
	HB-1	SN-S-2	
	HB-2	SG-1	
	HB-3	SG-2	
	干潟	HG-S-1	

(2) 地層断面図

地層凡例	
人工地盤	Fat: 推定砂防堤防埋戻し層
	F: 墓土
	Ad: 砂質土層 [必透性]
新規	Aa1: 砂質土層 [必透性, 第相砂堤防]
	Aa2: 砂質土層 [必透性, 第相砂堤防]
	Aa3: 砂質土層 [必透性, 第相砂堤防]
	Aa4: 砂質土層 [必透性, 第相砂堤防]
	Ac: 黏性土層, 有機質土層 [初期堆積物]
	Ac1: 黏性土層, 有機質土層 [初期堆積物]
	As5: 砂質土層 [必透性]
更替段	Dac: 黏性土砂質土互層
	Dcl: 黏性土層
	Dc2: 黏性土層 [新規層]
	Dc3: 砂質土層 [新規層]
	Dc4: 黏性土層 [新規層]

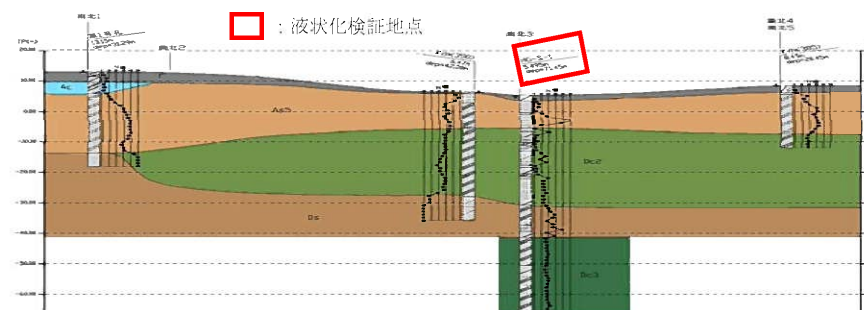


図-4.1 地層断面図(東西 1)

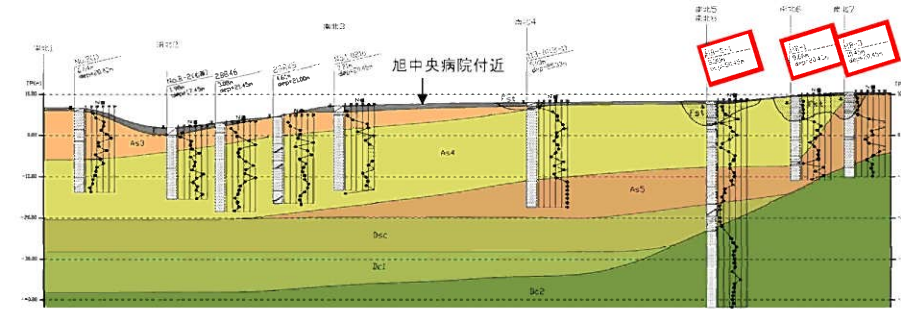


図-4.2 地層断面図(東西 3)

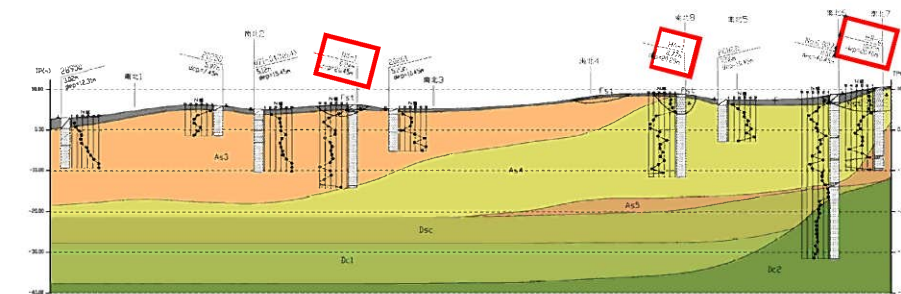


図-4.3 地層断面図(東西 4)

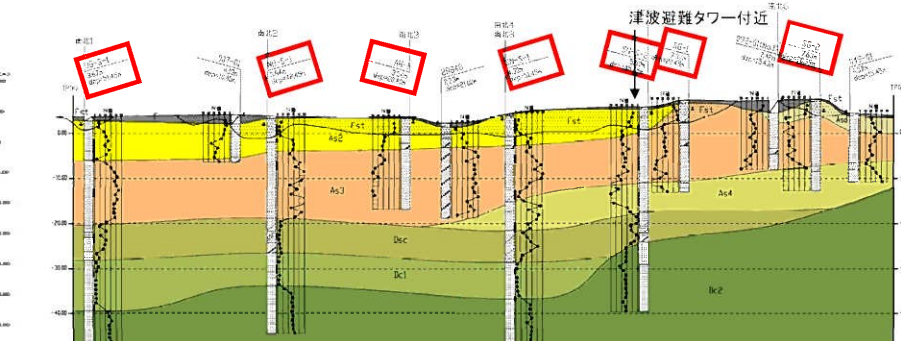
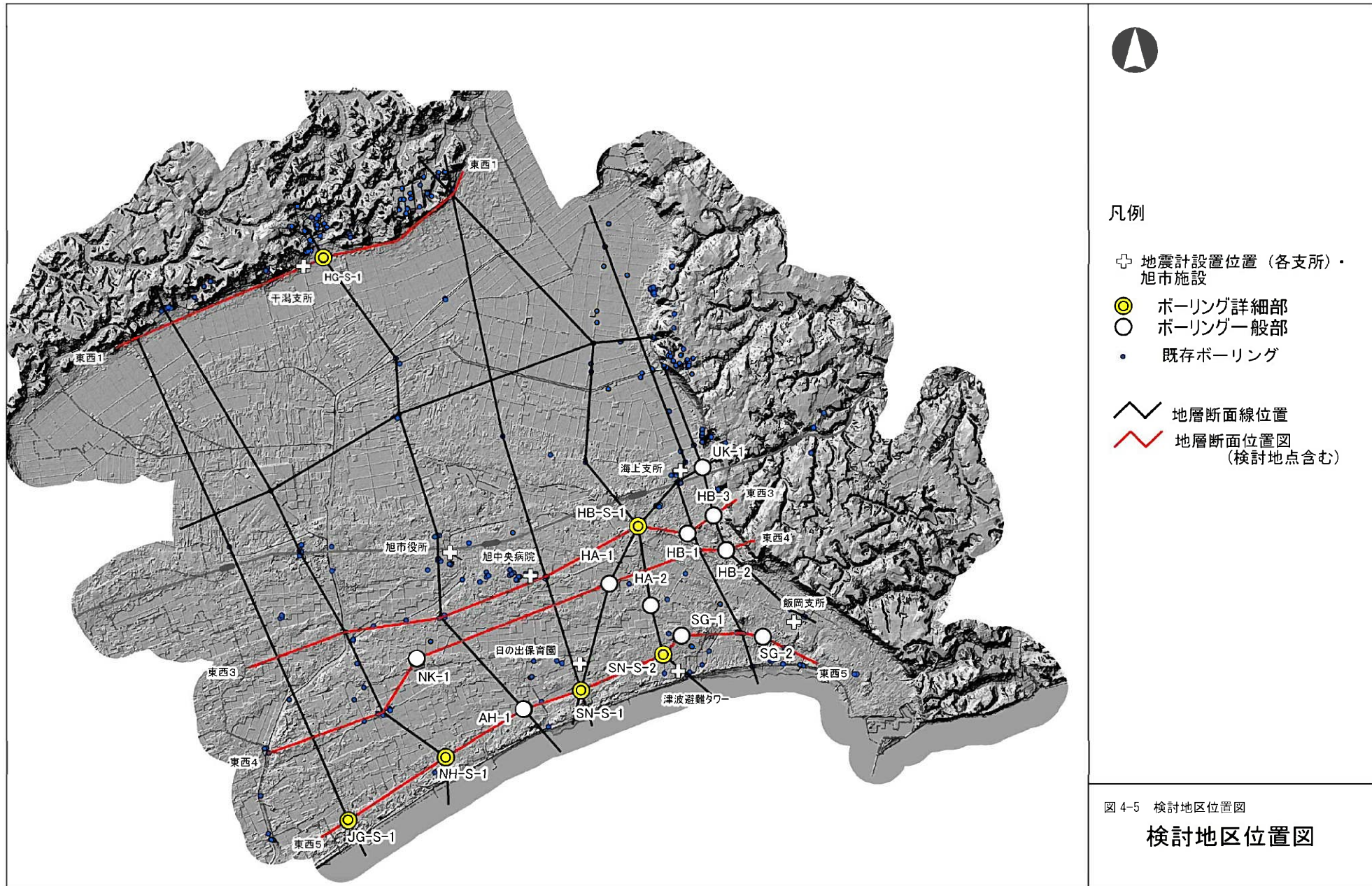


図-4.4 地層断面図(東西 5)



2. 検討条件

(1) 考慮する地震動

①簡易法 (α_{\max})：地表面最大加速度とマグニチュード

表 4-2 地震動一覧

地区	地震動	マグニチュード M	地表面最大加速度 α_{\max} (gal)	$\gamma_n \times \alpha_{\max}$
旭	余震 NS	7.7	221	148
飯岡	余震 NS	7.7	265	177
海上	余震 EW	7.7	206	138
干潟	本震 EW	9.0	287	230

※ γ_n : 等価な繰り返し回数に関する補正係数; $\gamma_n=0.1(M-1)$

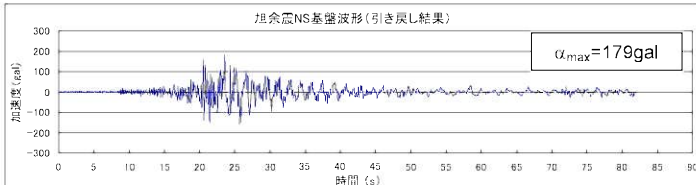
※ α_{\max} : 観測された地表最大加速度(gal)

(2) 地震応答解析

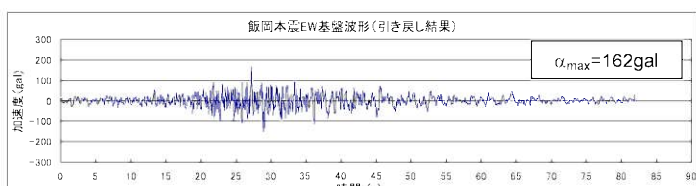
：東日本大震災における各地区の地表面における

観測記録を基盤へ引き戻した加速度時刻歴

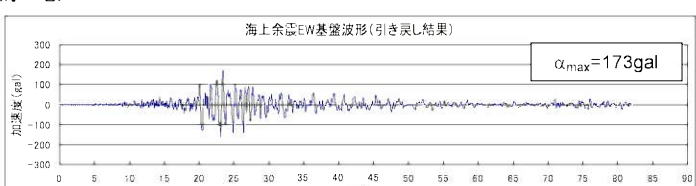
□ 旭地区



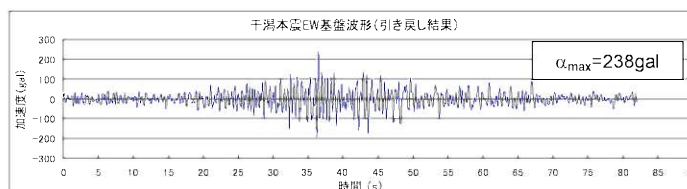
□ 飯岡地区



□ 海上地区



□ 干潟地区



(2) 解析手法

1) 地震時地中せん断力

①簡易法（建築基礎構造設計指針）

②地震応答解析（FDEL）

2) 液状化判定

①建築基礎構造設計指針

3) 地表面沈下量

①建築基礎構造設計指針

②高压ガス設備等耐震設計指針

(3) 検討位置及び地盤条件

以下の地盤物性値は、

追加地質調査結果を用いた

- せん断弾性波速度
- N 値
- 粒度分布
- 湿潤密度
- 動的変形特性
- 液状化強度比
- 相対密度

(4) 液状化の検証条件

液状化の判定深度は GL-10m 以浅とした

3. 検討結果

(1) 液状化検討結果

表 4-3 液状化の検証結果一覧

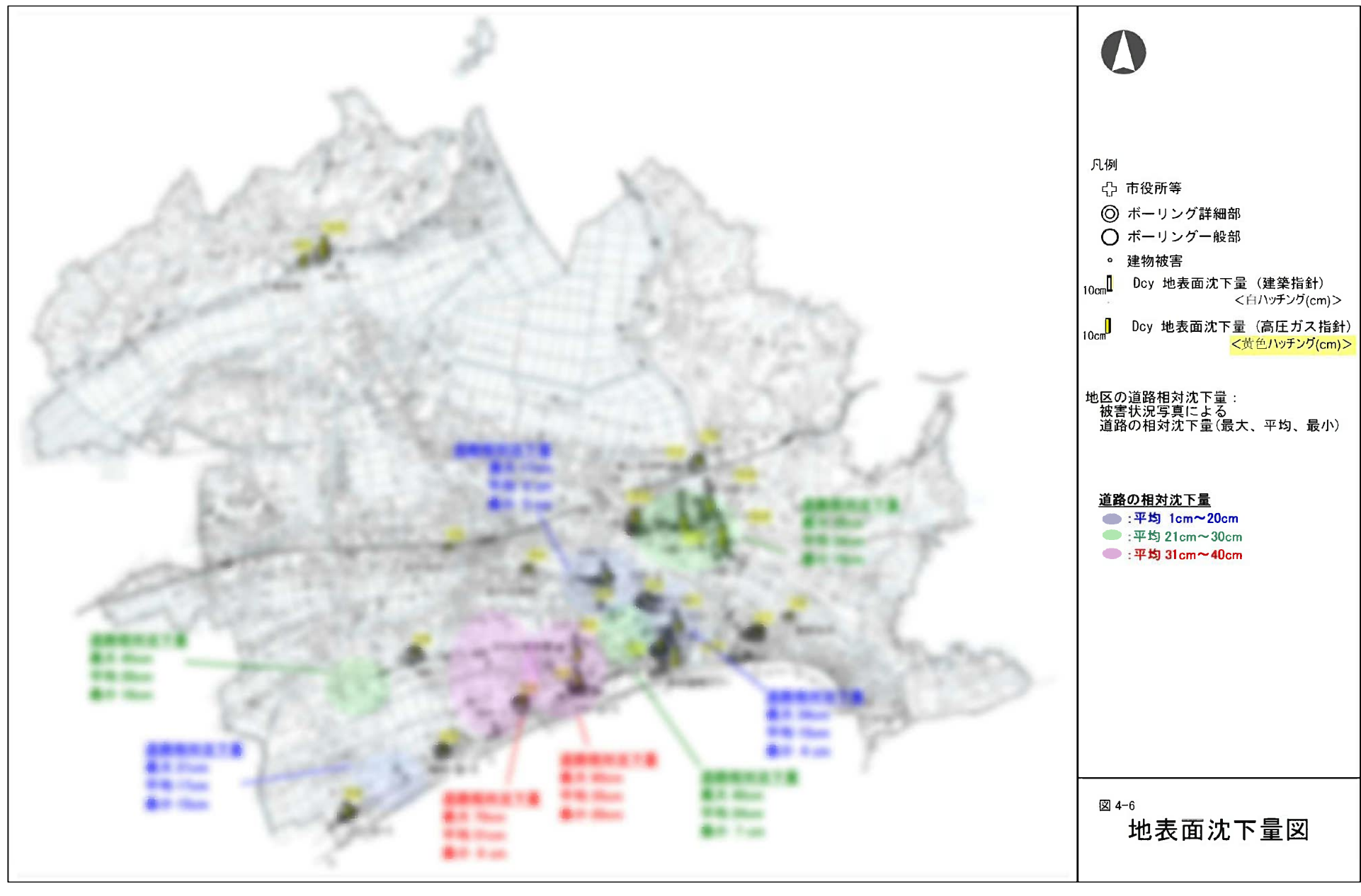
地 区	検討位置	簡易法				地震応答解析				実際の被害状況				評価				コメント		
		PI _c	H _d (m)	Dcy(cm) ^{1/2}	Dcv(cm) ^{1/2}	地盤波	PI _c	H _d (m)	Dcy(cm) ^{1/2}	Dcv(cm) ^{1/2}	道路の相対沈下量 ^{1/2}	液状化による被害	その他の液状化による被害	地盤波の相対沈下量 ^{1/2}	簡易法	地震応答解析	地震応答解析			
地盤計位層	旭市役所	地盤計位層 (マグニチュード、地表強度大加速度)	1.4	7.3	1.6	4.2	地盤波 旭余秀NS (M7.7, 22gal)	0.9	7.3	1.4	3.5	—	×	×	—	—	—	—	液状化の判定では、一部が液状化が生じる結果となつたが、H1は簡易法・地震応答解析とともに7.3mである。	
	旭中央病院		4.4	1.3	1.9	4.6		6.2	1.3	2.1	4.4	—	×	×	—	—	—	—	液状化の判定では、地表面付近の一部が液状化が生じる結果となつた。 液状化層が薄いことから、地表面ではわずかな沈下にとどまつたと考えられる。	
	椎名内		13.5	2.3	22.5	8.5		12.5	2.3	22.5	8.5	20~60	○	○	—	○	×	○	×	液状化の判定では、地表面付近の一部が液状化が生じる結果となつた。 液状化層が薄いことから、地表面ではわずかな沈下にとどまつたと考えられる。
	中谷里		0.9	1.3	1.5	2.5		6.9	1.3	3.1	3.8	—	○	○	—	—	—	—	液状化の判定では、地表面付近の一部が液状化が生じる結果となつた。 液状化層が薄いことから、地表面ではわずかな沈下にとどまつたと考えられる。	
	神宮寺浜		3.0	9.3	6.9	3.9		4.4	2.3	9.7	5.9	15~21	○	○	—	×	×	×	×	液状化の判定では、地表面から3m~8mの範囲の比較的高い部分を除き、液状化が生じ、液状化層は薄い結果となつた。当該地域は、液状化が確認され、液状化被害が生じている。また、道路の相対沈下量は20cm~60cmである。高圧ガス指針ではかなり小さな値となつてゐるが、これは地盤の相対密度が約60%と大きな値にしたためと考えられる。(スウェーデン式サンディング試験結果では、標準貫入試験による判定では)
	中谷里浜		0.5	4.3	4.2	3.3		0.8	4.3	4.3	3.5	—	○	○	—	—	—	—	—	液状化の判定では、地表面付近で液状化が生じる結果となつた。 液状化層が薄いことから、地表面ではわずかな沈下にとどまつたと考えられる。
	足川浜		3.2	2.3	2.4	4.8		6.0	1.3	3.7	6.4	6~70	○	○	—	×	×	×	○	液状化の判定では、地表面付近で液状化が生じる結果となつた。 液状化層が薄いことから、地表面ではわずかな沈下にとどまつたと考えられる。また、道路の相対沈下量は7.0cmに対して、地盤応答解析の両柱基準値の一致した結果となつた。
	地盤計位層		0.2	9.3	0.7	2.0		3.0	1.3	1.1	3.6	—	×	×	—	—	—	—	—	液状化の判定では、H1は3mであり、地盤応答解析では、地表面付近の一部が液状化する結果となつた。隙厚が薄く、液状化程度も小さいことから、地表面への液状化被害は生じなかつたと考えられる。
	津波避難タワー		19.8	2.3	20.7	17.6		17.9	2.3	19.7	15.9	4~34	○	○	—	○	○	○	○	液状化の判定では、地表面から5m~8m付近の比較的小さな値を除き、ほぼ全般的に液状化が生じる結果となつた。当該地域では、液状化が確認され、液状化被害が生じてゐる。
三川	HA-2	飯岡会議NS (M7.7, 265gal)	5.9	4.3	7.6	3.4	地盤波 飯岡本塗EW 基盤波形引き戻し (M9.0, $\alpha_{max} = 162$ gal)	5.9	4.3	7.6	3.2	4~34	○	○	—	○	×	○	×	液状化の判定では、地表面付近で液状化が生じる結果となつた。 液状化層が薄いことから、地表面ではわずかな沈下にとどまつたと考えられる。当該地域では、液状化が確認され、液状化被害が生じてゐる。
	SN-S-2		6.7	2.3	2.4	9.2		7.2	2.3	2.4	9.1	20~61	○	○	—	×	×	×	×	液状化の判定では、地表面付近の一部が液状化が生じる結果となつた。 液状化層が薄いことから、地表面ではわずかな沈下にとどまつたと考えられる。当該地域では、液状化が確認され、液状化被害が生じてゐる。
	SG-1		12.6	2.3	18.5	8.1		13.1	2.3	18.8	8.1	4~34	○	○	—	○	○	○	○	液状化の判定では、地表面付近で液状化が生じる結果となつた。 液状化層が薄いことから、地表面ではわずかな沈下にとどまつたと考えられる。
	SG-2		2.5	3.3	2.4	3.1		2.9	3.3	2.6	3.1	—	○	○	—	—	—	—	—	液状化の判定では、地表面付近の一部が液状化が生じる結果となつた。 液状化層が薄いことから、地表面ではわずかな沈下にとどまつたと考えられる。
	東足洗		11.5	2.3	15.2	7.0		9.7	3.3	13.9	6.4	5~17	○	○	—	○	○	○	○	液状化の判定では、地表面付近で液状化が生じる結果となつた。 液状化層が薄いことから、地表面ではわずかな沈下にとどまつたと考えられる。
	矢指		6.6	1.3	20.4	9.6		4.4	1.3	14.9	8.3	6~70	○	○	—	○	○	○	○	液状化の判定では、地表面付近で液状化が生じる結果となつた。 液状化層が薄いことから、地表面ではわずかな沈下にとどまつたと考えられる。
	海上		0.0	10.0	0.0	0.0		0.0	10.0	0.0	0.3	—	×	×	—	—	—	—	—	液状化の判定では、地表面付近で液状化が生じない結果となつた。
地盤計位層	海上支所	海上余瀬EW (M7.7, 206gal)	3.1	4.3	4.1	5.1	地盤波 海上余瀬EW 基盤波形引き戻し (M7.7, $\alpha_{max} = 173$ gal)	13.9	2.3	7.9	10.4	18~30	○	○	—	×	×	×	×	液状化の判定では、地表面付近で液状化が生じる結果となつており、液状化層厚も4mと厚い。当該地域は、液状化が確認され、液状化被害が生じてゐる。
	後草		17.7	2.3	31.2	11.6		21.4	2.3	31.2	11.8	18~30	○	○	—	○	×	○	×	液状化の判定では、地表面付近で液状化が生じる結果となつて、液状化層厚も4mと厚い。当該地域は、液状化が確認され、液状化被害が生じてゐる。
	HB-1		13.2	2.3	23.4	13.9		24.5	2.3	27.0	16.8	18~30	○	○	—	○	×	○	×	液状化の判定では、地表面付近で液状化が生じる結果となつており、液状化層厚も4mと厚い。当該地域は、液状化が確認され、液状化被害が生じてゐる。
	HB-2		14.5	2.3	28.6	10.8		16.6	2.3	27.0	10.8	18~30	○	○	—	○	×	○	×	液状化の判定では、地表面付近で液状化が生じる結果となつており、液状化層厚も4mと厚い。当該地域は、液状化が確認され、液状化被害が生じてゐる。
	HB-3		5.8	4.3	5.7	6.0		8.8	3.3	7.0	7.6	—	○	○	—	—	—	—	—	液状化の判定では、地表面付近の一部が比較的低い層に液状化が生じる結果となつた。当該地域では、液状化が確認されており、液状化被害が生じてゐる。
	海上		8.1	2.3	1.9	4.3		11.7	1.3	2.5	8.2	—	×	×	辺下り	—	—	—	—	液状化の判定では、地表面付近で液状化が生じる結果となつた。液状化層厚も簡易法では2m、地盤応答解析では3mとなっている。当該地点においては、液状化の被害は確認されていないが、判定結果からは、地表面付近で液状化が生じたと考えられる。
地盤計位層	干潟支所	干潟本塗EW (M9.0, 287gal)	21.5	1.3	9.9	17.2	干潟本塗EW 基盤波形引き戻し (M9.0, $\alpha_{max} = 238$ gal)	11.0	0.0	7.2	13.2	—	×	×	辺下り	—	—	—	—	液状化の判定では、地表面付近で液状化が生じる結果となつた。液状化層厚は3mと厚く、Dcyも8.4cm~19.6cmとなつてゐる。当該地域においては、液状化による被害は確認されていないが、判定結果からは、液状化が生じたと考えられる。
	干潟		—	—	—	—		—	—	—	—	—	—	—	—	—	—	—	—	—

※1:「建築基準構造設計指針」による手法

※2:「高圧ガス設備等耐震設計指針」による手法

: H1<3m もしくは Dcy>10cm

(2)道路の相対沈下量図



(2) スウェーデン式サウンディング試験結果による換算 N 値を用いた場合の地表面沈下量

(1) 液状化検討結果において、地震応答解析の地表面沈下量が道路の相対沈下量の説明が出来ない地点に関して、スウェーデン式サウンディング試験(以下 SWS と表記)結果による換算 N 値を用い、再度、液状化の検証を行った。

再度、液状化の検証を行った条件は、以下の 2 条件である。

- ① 砂鉄埋め戻し推定層におけるすべての層で、SWS による換算 N 値を用いる (下表 : SWS)
- ② 砂鉄埋め戻し推定層において層ごとに、標準貫入試験により得られた N 値と SWS 結果による換算 N 値の低い値を採用する。(下表 : 標準貫入試験 & SWS)

SWS 結果による換算 N 値を用い再度液状化検討を行った結果、地表面沈下量は地震応答解析において増加する地点はあるが、依然として道路の相対沈下量が説明できない結果となつた。

地区	検討位置	地盤波	道路の相対沈下量 (cm)	地震応答解析								評価	
				標準貫入試験			SWS			標準貫入試験 & SWS			
				PL	Dcy(cm) ^{*1}	Dcy(cm) ^{*2}	PL	Dcy(cm) ^{*1}	Dcy(cm) ^{*2}	PL	Dcy(cm) ^{*1}	Dcy(cm) ^{*2}	
旭	日の出保育所	旭余震NS基盤波形引き戻し (M 7.7 amax = 191 gal)	20~60	13.2	22.5	8.5	—	—	—	—	—	—	SWS による換算 N 値が標準貫入試験よりも大きいため、変更不可
蛇園	HB-S-1	海上余震EW基盤波形引き戻し (M 7.7 , amax = 169 gal)	18~30	13.9	7.9	10.4	13.9	10.8	11.7	13.9	11.2	11.7	SWS による換算 N 値を採用すると、沈下量は簡易法では増加するが地震応答解析では変化がない、依然として道路の相対沈下量を説明できない。
	HB-1		18~30	21.4	31.2	11.8	—	—	—	—	—	—	SWS による換算 N 値が標準貫入試験よりも大きいため、変更不可
	HB-2		18~30	24.5	27.0	16.8	25.2	28.3	16.8	26.8	33.9	17.1	SWS による換算 N 値を採用すると、沈下量は簡易法では増加するが地震応答解析ではわずかしか増加しない、依然として道路の相対沈下量を説明できない。
	HB-3		18~30	16.6	27.0	10.8	—	—	—	—	—	—	SWS による換算 N 値が標準貫入試験よりも大きいため、変更不可
神宮寺浜	JG-S-1	旭余震NS基盤波形引き戻し (M 7.7 amax = 191 gal)	15~21	4.4	9.7	5.9	—	—	—	—	—	—	SWS による換算 N 値が標準貫入試験よりも大きいため、変更不可
三川	SN-S-2	飯岡本震EW基盤波形引き戻し (M 9.0 , amax = 154 gal)	20~61	7.2	2.4	9.1	7.2	16.6	10.7	SWS 結果と同じ		SWS による換算 N 値を採用すると、沈下量は増加するが、依然として道路の相対沈下量を説明できない。	

※1:「建築基礎構造設計指針」による手法

※2:「高圧ガス設備等耐震設計指針」による手法

 : H1 < 3m もしくは Dcy > 10cm

※液状化の判定深度は GI-10m 以浅とした

再液状化の診断

1. 検討位置

資料-5

(1) 検討位置

表5-1、図5-1に示す位置の既往の地質調査資料を用い、液状化の検証を実施した。 表5-1 検証箇所一覧

地区	検討位置	地区	検討位置
地震計位置	旭市役所	海上	UK-1
	飯岡支所		HA-1
	東足洗		HA-2
	海上支所		
旭	干潟支所		
	旭中央病院	NK-1	
	神宮寺浜	JG-S-1	
	日の出保育所	NH-S-1	
三川	津波避難タワー	AH-1	
		SN-S-1	
蛇園	HB-S-1	SN-S-2	
	HB-1	SG-1	
	HB-2	SG-2	
	HB-3	HG-S-1	

(2) 地層断面図

地層凡例	
人工地盤	Fat: 推定砂防堤防埋戻し層
	F: 墓土
Aad:	砂質土層 [応応性]
Aa1:	砂質土層 [応応性, 第相砂堤防]
Aa2:	砂質土層 [応応性, 第相砂堤防]
Aa3:	砂質土層 [第相砂堤防]
Aa4:	砂質土層 [第相砂堤防]
Aa5:	砂質土層 [第相砂堤防]
Ac:	粘性土層, 有機質土層 [有機質植物]
Ac5:	粘性土層挟在砂質土層
As5:	砂質土層 [応応性]
Dac:	粘性土砂質土互層
De1:	粘性土層
De2:	粘性土層 [第相砂]
Do:	砂質土層 [第相砂]
Do3:	粘性土層 [第相砂]

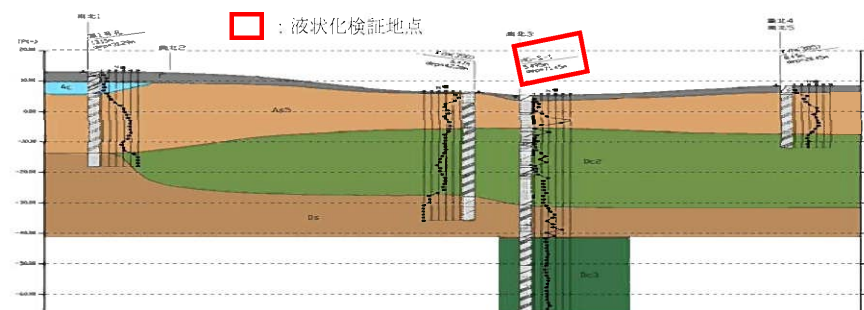


図-5.1 地層断面図(東西 1)

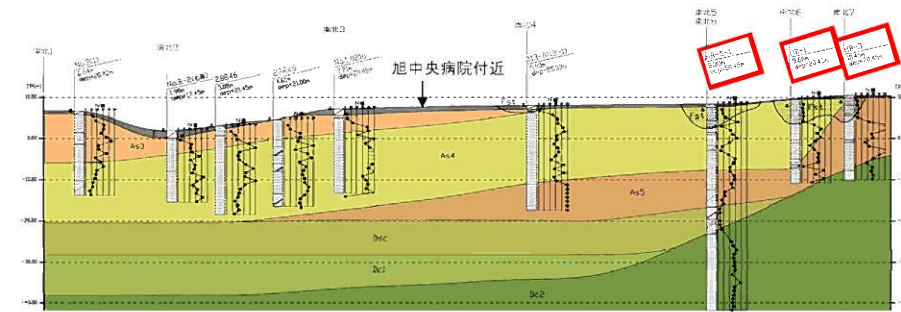


図-5.2 地層断面図(東西 3)

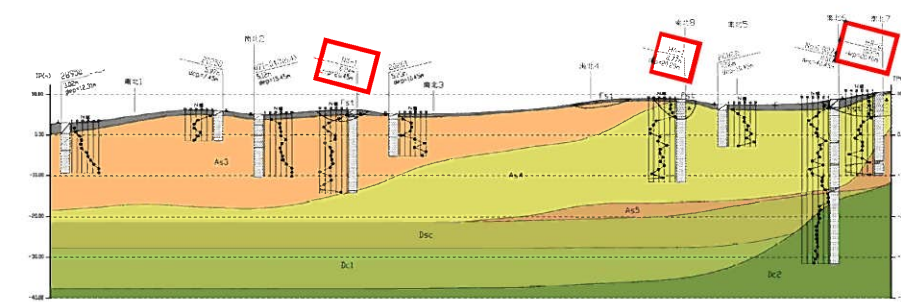


図-5.3 地層断面図(東西 4)

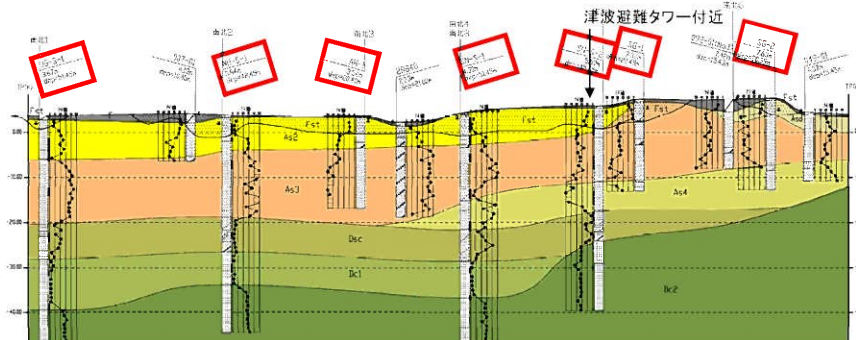
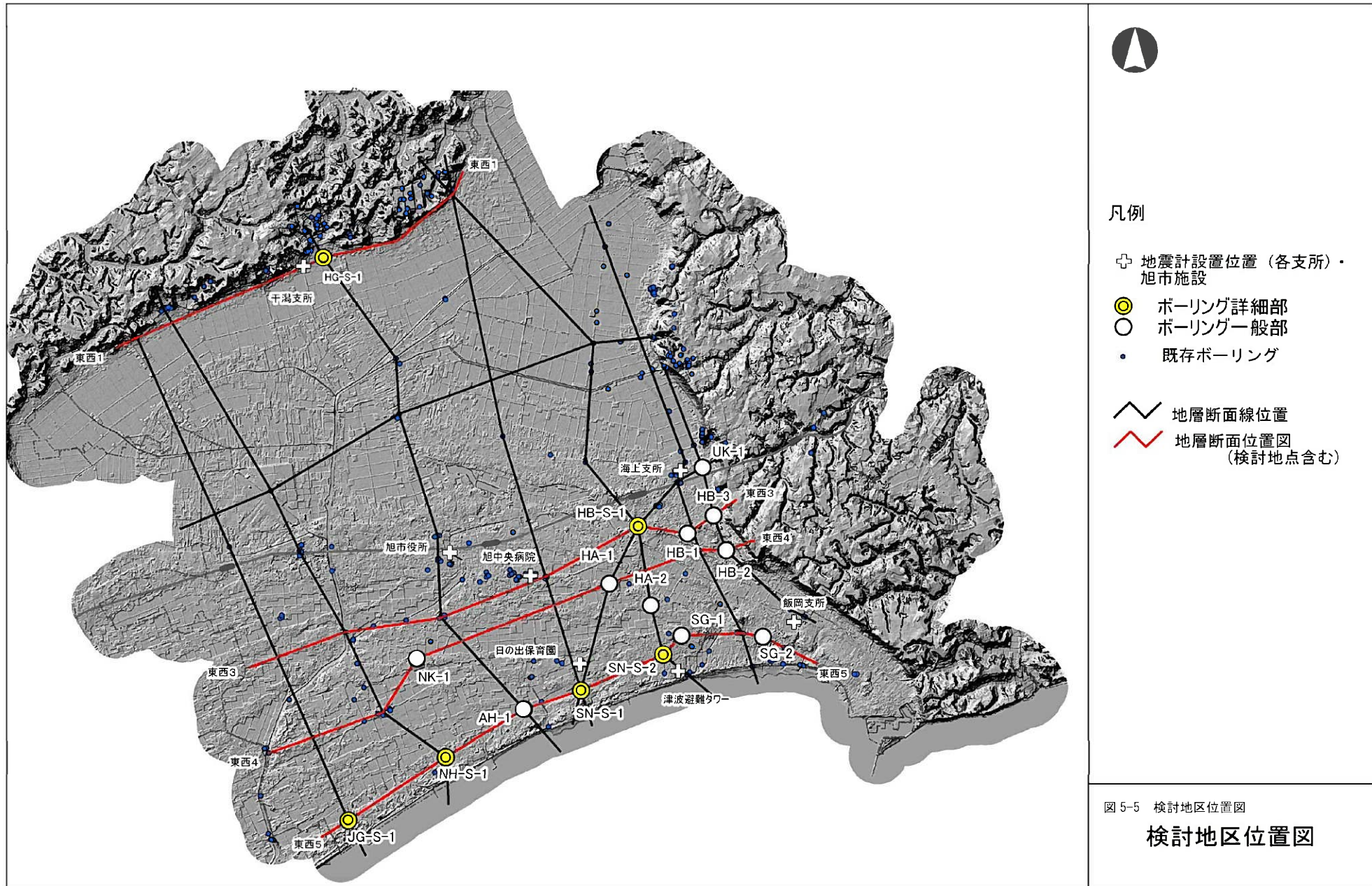


図-5.4 地層断面図(東西 5)



2. 検討条件

(1) 考慮する地震動

- ①簡易法（タイプ1、タイプ2、タイプ3）

表-5.2 再液状化の検討における簡易法に用いる地震動

地震動タイプ	地表最大加速度と地震のマグニチュード
タイプ1(中地震による中程度の揺れ)	200gal, M7.5
タイプ2(巨大地震による中程度の揺れ)	200gal, M9.0
タイプ3(直下型地震による大きな揺れ)	350gal, M7.5

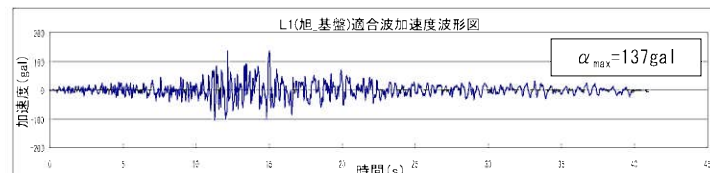
- ②地震応答解析（タイプ1、タイプ2、タイプ3）

表-5.3 再液状化の検討における詳細法に用いる地震動

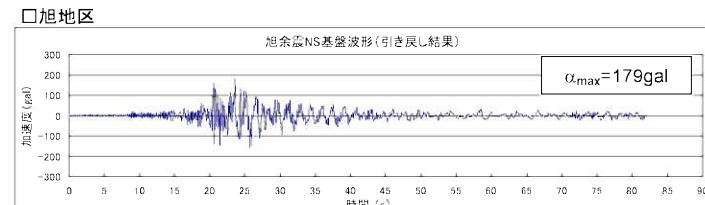
地震動タイプ	設定地震動
タイプ1(中地震による中程度の揺れ)	建築基礎構造設計指針－損傷限界状態検討用－基盤加速度応答スペクトルの適合波
タイプ2(巨大地震による中程度の揺れ)	東日本大震災での地表面観測記録を基盤面に引き戻した加速度時刻歴
タイプ3(直下型地震による大きな揺れ)	建築基礎構造設計指針－終局限界状態検討用－基盤加速度応答スペクトルの適合波

【地震波形図】

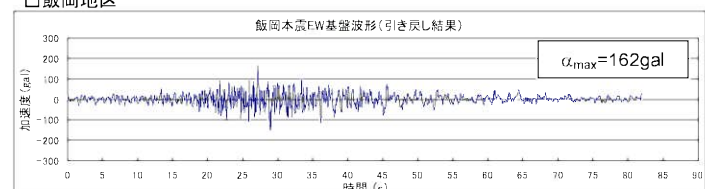
【タイプ1（中地震による中程度の揺れ）】



【タイプ2（巨大地震による中程度の揺れ）】



□飯岡地区



(2) 解析手法

- a) 地震時地中せん断力

- ①簡易法

- ②地震応答解析（FDEM）

- b) 液状化判定

- ①建築基礎構造設計指針

- c) 地表面沈下量

- ①建築基礎構造設計指針

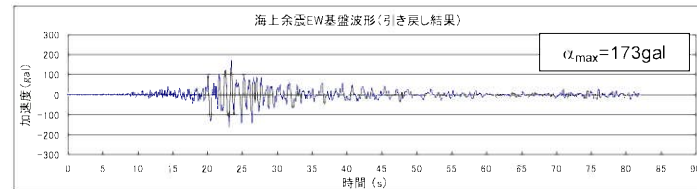
- ②高圧ガス設備等耐震設計指針

(3) 地盤条件

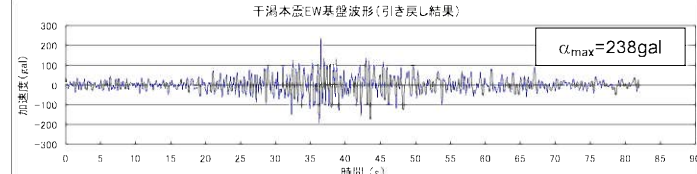
以下の地盤物性値は、地質調査結果を用いた。

- | | |
|-----------|---------|
| ・せん断弾性波速度 | ・動的変形特性 |
| ・N 値 | ・液状化強度比 |
| ・粒度分布 | ・相対密度 |
| ・湿潤密度 | |

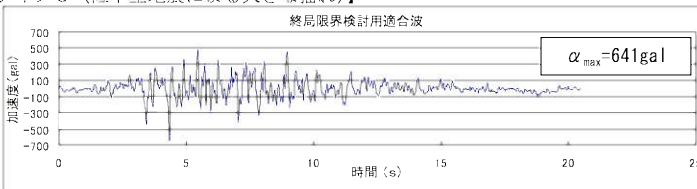
□海上地区



□干潟地区



【タイプ3（直下型地震による大きな揺れ）】



3. 再液状化の診断結果

表 5-4 再液状化の診断結果一覧表（簡易法）

地 区	検討位置	地下水位 GL-(m)	埋め戻し 層厚(m)	地下水位以下の 埋め戻し層厚(m)	簡易法・タイプ1地震 M7.5, 200gal				簡易法・タイプ2地震 M9.0, 200gal				簡易法・タイプ3地震 M7.5, 350gal			
					PL	H _i (m)	Dcy(cm) ^{※1}	Dcy(cm) ^{※2}	PL	H _i (m)	Dcy(cm) ^{※1}	Dcy(cm) ^{※2}	PL	H _i (m)	Dcy(cm) ^{※1}	Dcy(cm) ^{※2}
地震計位置	旭市役所	1.8	—	—	0.3	8.3	0.6	2.3	2.2	7.3	2.0	5.1	5.7	7.3	3.5	7.5
旭	旭中央病院	1.4	—	—	3.2	1.3	1.6	4.3	5.0	1.3	2.0	4.9	8.8	1.3	3.1	7.9
椎名内	日の出保育所	1.5	4.8	4.0	12.1	2.3	22.4	8.5	14.3	2.3	22.6	8.5	17.1	2.3	22.6	8.9
中谷里	NK-1	1.2	1.8	—	0.0	10.0	0.0	1.0	1.5	1.3	1.8	3.0	3.8	1.3	2.7	4.1
神宮寺浜	JG-S-1	1.7	2.8	1.8	2.7	9.3	6.9	3.5	3.2	9.3	7.0	4.4	7.4	2.3	10.7	8.0
中谷里浜	NH-S-1	1.9	4.8	3.1	0.0	10.0	0.0	1.7	1.6	3.3	6.0	5.0	8.0	2.3	8.5	8.7
足川浜	AH-1	1.1	3.8	—	1.4	2.3	1.6	3.3	4.1	2.3	2.7	5.1	7.8	1.3	4.0	6.7
地震計位置	飯岡支所	0.9	—	—	0.0	10.0	0.0	0.6	0.0	10.0	0.0	1.2	2.6	1.3	1.7	5.6
簡 易 法	津波避難タワー	1.7	7.8	—	11.2	2.3	16.9	15.0	16.8	2.3	19.4	16.4	32.7	2.3	23.8	21.0
	HA-2	2.0	4.9	—	5.3	4.3	7.6	3.1	5.7	4.3	7.6	3.3	7.1	3.3	8.3	4.5
	SN-S-2	1.4	4.8	3.1	0.1	4.3	0.0	3.1	3.9	2.3	1.5	7.3	12.5	2.3	3.1	11.1
	SG-1	2.1	4.8	—	8.9	2.3	17.4	8.0	11.5	2.3	18.1	8.1	14.9	2.3	18.9	8.4
	SG-2	2.6	3.8	—	0.0	10.0	0.0	1.2	1.7	3.3	2.1	2.9	4.1	3.3	3.1	3.1
東足洗	HA-1	2.3	4.8	—	9.0	3.3	13.8	6.2	10.5	2.3	14.8	6.6	13.5	2.3	15.6	7.3
矢指	SN-S-1	1.2	4.8	1.8	0.4	3.3	12.5	3.6	4.5	2.3	18.6	8.6	11.9	1.3	20.9	11.3
地震計位置	海上支所	GL+0.4	—	—	0.0	10.0	0.0	0.0	0.0	10.0	0.0	0.1	0.0	10.0	0.0	1.8
後草	HB-S-1	1.6	5.8	3.9	2.6	5.3	3.9	4.5	6.1	2.3	5.7	7.3	14.4	2.3	7.9	11.0
蛇 園	HB-1	1.9	5.8	3.1	16.9	2.3	31.2	11.6	19.6	2.3	31.2	11.7	23.2	2.3	31.2	12.3
	HB-2	2.0	6.8	—	11.5	2.3	26.4	10.4	17.4	2.3	25.1	15.9	26.2	2.3	28.1	17.8
	HB-3	1.7	5.8	—	13.5	2.3	26.4	10.8	16.6	2.3	27.0	10.8	20.5	2.3	27.3	11.1
海上	UK-1	1.0	6.8	—	5.6	4.3	5.7	6.0	7.1	4.3	6.1	6.3	13.6	3.3	7.5	9.2
地震計位置	干潟支所	0.0	—	—	2.9	2.3	1.4	3.4	4.2	2.3	2.2	4.2	8.0	2.3	2.5	6.1
干潟	HG-S-1	0.9	0.0	—	4.1	1.3	4.4	9.3	10.2	1.3	7.6	14.1	21.3	1.3	9.9	17.2

: H_i<3m もしくは Dcy>10cm

※1:「建築基礎構造設計指針」による手法

※2:「高圧ガス設備等耐震設計指針」による手法

※液状化の判定深度は GL-10m 以浅とした

表 5-5 再液状化の診断結果一覧表（応答解析）

地 震 応 答 解 析	地 区	検討位置	地震応答解析・タイプ1地震				地震応答解析・タイプ2地震					
			地震波	PL	H _i (m)	Dcy(cm) ^{※1}	Dcy(cm) ^{※2}	地震波	PL	H _i (m)	Dcy(cm) ^{※1}	Dcy(cm) ^{※2}
地震計位置	旭市役所	L1(旭基盤)適合波 加速度波形図 (M 7.5 , $\alpha_{max} = 137 gal $)		0.0	10.0	0.0	0.6	旭余震NS 基盤波形引き戻し (M 7.7 , $\alpha_{max} = 179 gal $)	0.9	7.3	1.4	3.5
	旭			2.8	1.3	1.5	3.9		6.2	1.3	2.1	4.4
	椎名内			6.8	2.3	19.6	8.4		12.5	2.3	22.5	8.5
	中谷里			5.4	1.3	3.0	3.0		6.9	1.3	3.1	3.8
	神宮寺浜			1.7	9.3	6.0	3.5		4.4	2.3	9.7	5.9
	中谷里浜			0.0	10.0	0.0	0.7		0.8	4.3	4.3	3.5
	足川浜			0.0	10.0	0.0	1.6		6.0	1.3	3.7	6.4
	地震計位置	飯岡支所	0.4	1.3	0.6	1.7	3.0		1.3	1.1	3.6	
三川	津波避難タワー	L1(旭基盤)適合波 加速度波形図 (M 7.5 , $\alpha_{max} = 137 gal $)		5.5	2.3	13.2	11.6		17.9	2.3	19.7	15.9
	HA-2			5.0	4.3	7.6	2.9		5.9	4.3	7.6	3.2
	SN-S-2			2.4	2.3	1.3	5.7		7.2	2.3	2.4	9.1
	SG-1			10.9	2.3	18.1	8.1		13.1	2.3	18.8	8.1
	SG-2			0.0	10.0	0.0	1.2		2.9	3.3	2.6	3.1
	東足洗			6.9	3.3	12.3	5.1		9.7	3.3	13.9	6.4
	椎名内			0.2	1.3	1.8	2.1		4.4	1.3	14.9	8.3
	地震計位置	海上支所	0.0	10.0	0.0	0.0	0.0		10.0	0.0	0.3	
蛇園	後草	HB-S-1	L1(旭基盤)適合波 加速度波形図 (M 7.5 , $\alpha_{max} = 137 gal $)	13.2	2.3	7.6	10.3	海上余震EW 基盤波形引き戻し (M 7.7 , $\alpha_{max} = 173 gal $)	13.9	2.3	7.9	10.4
		HB-1		15.5	2.3	31.2	11.6		21.4	2.3	31.2	11.8
		HB-2		13.5	2.3	23.5	14.1		24.5	2.3	27.0	16.8
		HB-3		12.8	2.3	26.1	10.8		16.6	2.3	27.0	10.8
	海上	UK-1		3.5	4.3	4.7	5.8		8.8	3.3	7.0	7.6
地震計位置	干潟支所	L1(旭基盤)適合波 加速度波形図 (M 7.5 , $\alpha_{max} = 137 gal $)	4.9	2.3	2.3	4.5	干潟本震EW 基盤波形引き戻し (M 9.0 , $\alpha_{max} = 238 gal $)	11.7	1.3	2.5	8.2	
	干潟		2.9	1.3	1.9	5.6		11.0	0.0	7.2	13.2	

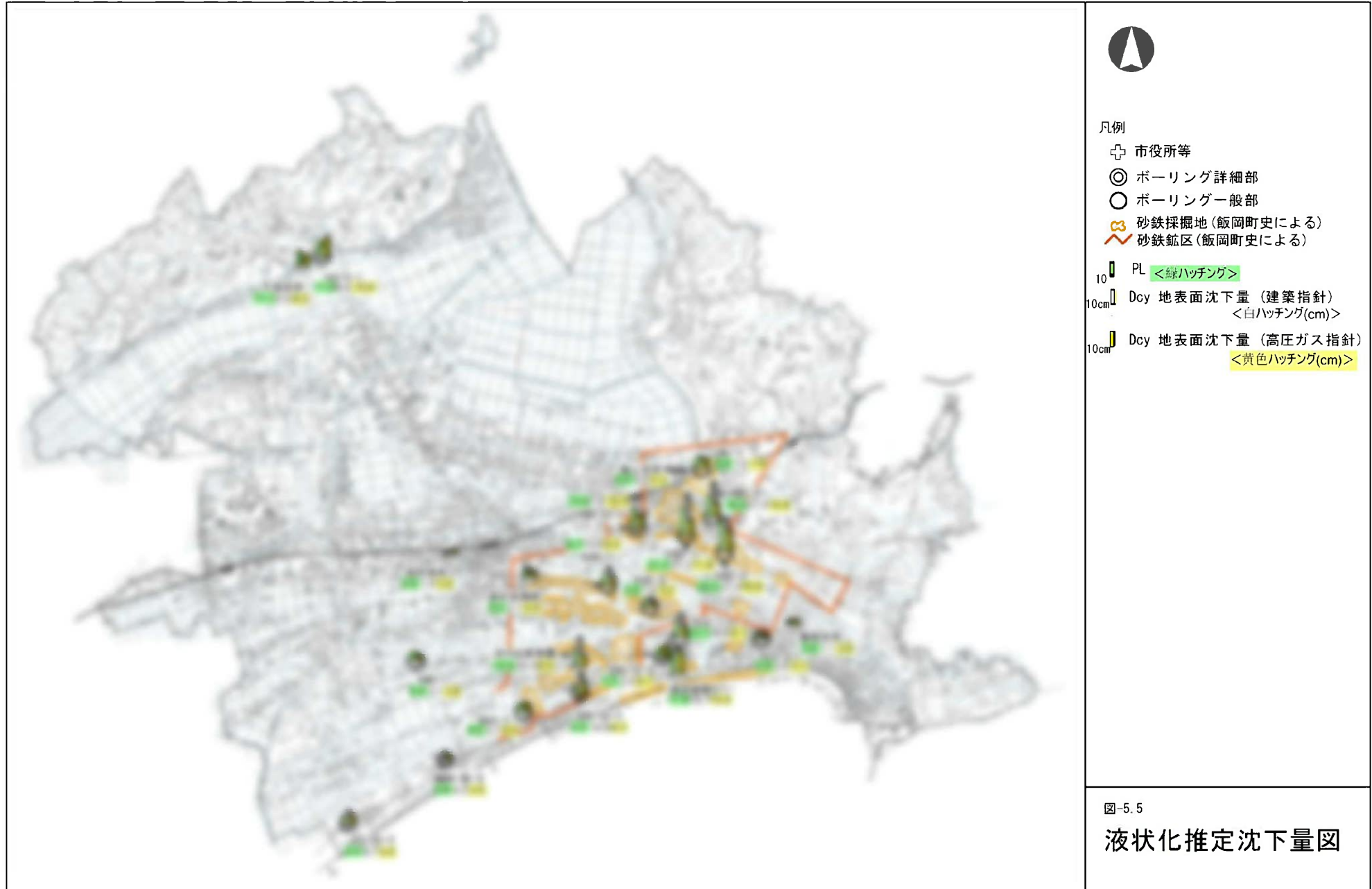
: H_i<3m もしくは Dcy>10cm

※1:「建築基礎構造設計指針」による手法

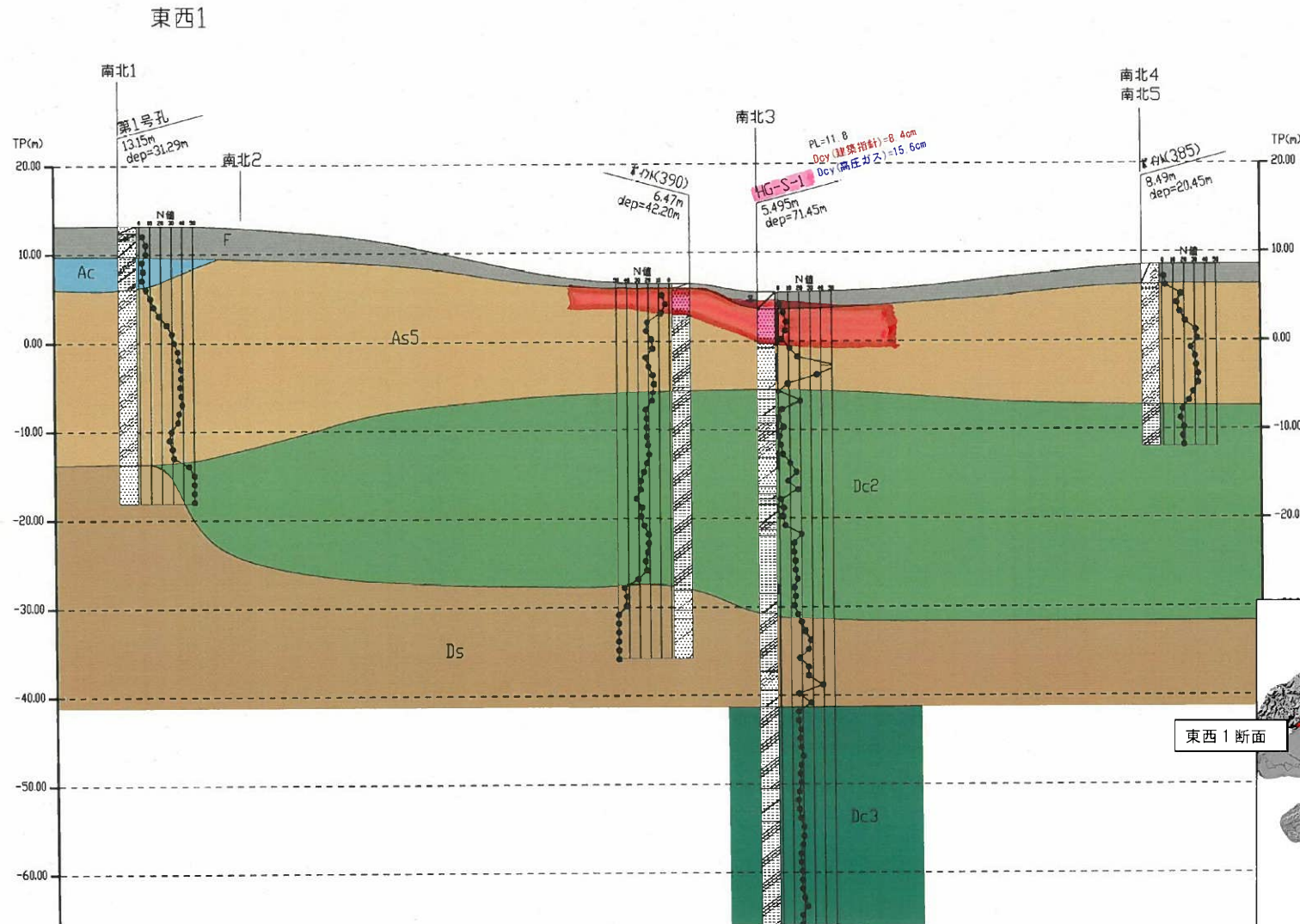
※2:「高圧ガス設備等耐震設計指針」による手法

※液状化の判定深度は GL-10m 以浅とした

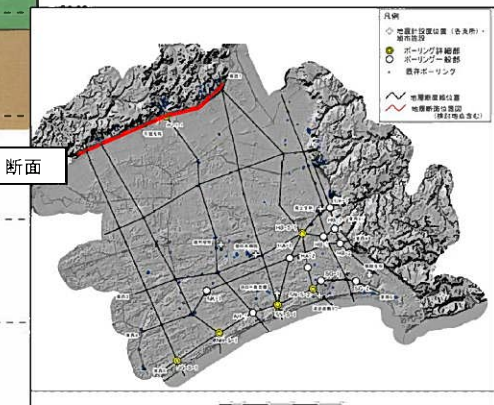
液状化推定沈下量図（地震応答解析 タイプ2）

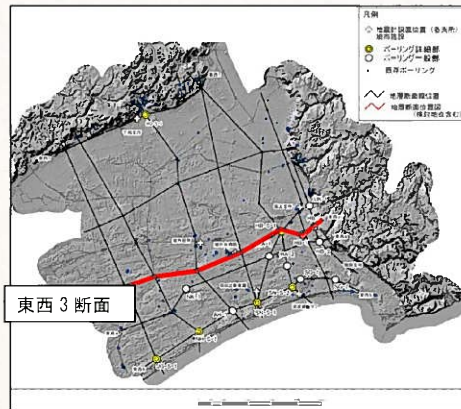


液状化判定想定断面図（地震応答解析 タイプ2）
東西1 V=1/500、H=1/25,000



地層凡例	
人工地盤	Fst... 推定砂鉄探掘跡埋戻し層
	F 埋土・盛土
完新統	Asd 砂質土層（砂丘性）
	As1 砂質土層
	As2 砂質土層（砂堤性、第Ⅲ砂堤群、1500年前以降に形成）
	As3 砂質土層（砂堤性、第Ⅳ砂堤群、3500年前以降に形成）
	As4 砂質土層（砂堤性、第Ⅴ砂堤群、5000年前以降に形成）
自然地盤	Ac 粘性土層、有機質土層（潟湖堆積物）
	Acs 粘性土層挟在砂質土層
	As5 砂質土層（砂堤性）
更新統	Dsc 粘性土砂質土互層
	Dc1 粘性土層
	Dc2 粘性土層（基盤層）
	Ds 砂質土層（基盤層）
	Dc3 粘性土層（基盤層）





液状化判定想定断面図（地震応答解析 タイプ2）

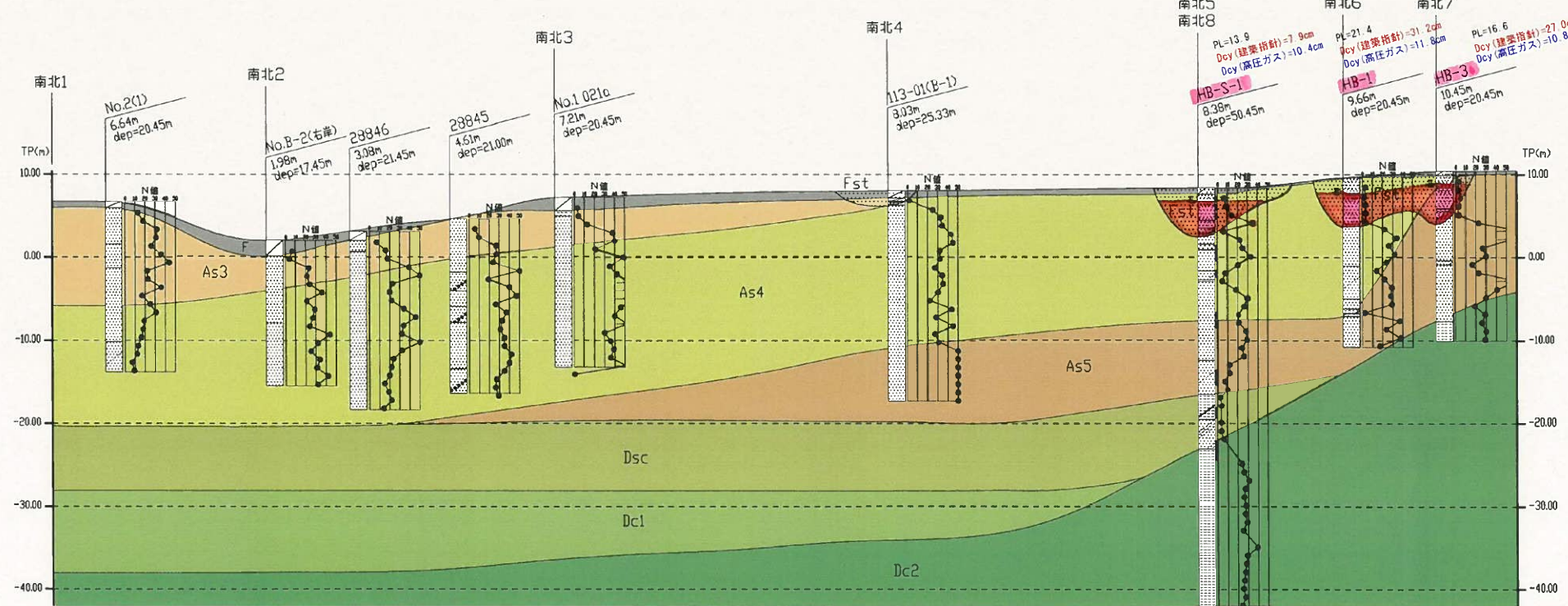
東西3 V=1/500、H=1/25,000

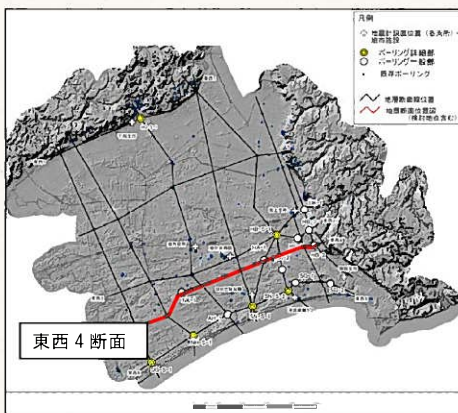
凡例

	：液状化検証地点
	：液状化判定層

地層凡例	
人工地盤	Fst 推定砂鉄探査跡埋戻し層
	F 埋土・盛土
完新統	Asd 砂質土層（砂丘性）
	As1 砂質土層
	Ae2 砂質土層（砂堤性、第Ⅲ砂堤群、1500年前以降に形成）
	As3 砂質土層（砂堤性、第Ⅲ砂堤群、3500年前以降に形成）
	As4 砂質土層（砂堤性、第Ⅲ砂堤群、5000年前以降に形成）
自然地盤	Ac 粘性土層、有機質土層（潟湖堆積物）
	Acs 粘性土層挿在砂質土層
	As5 砂質土層（砂堤性）
	Dsc 粘性土砂質土互層
	Dc1 粘性土層
更新統	Dc2 粘性土層（基盤層）
	Ds 砂質土層（基盤層）
	Dd 粘性土層（基盤層）

東西3





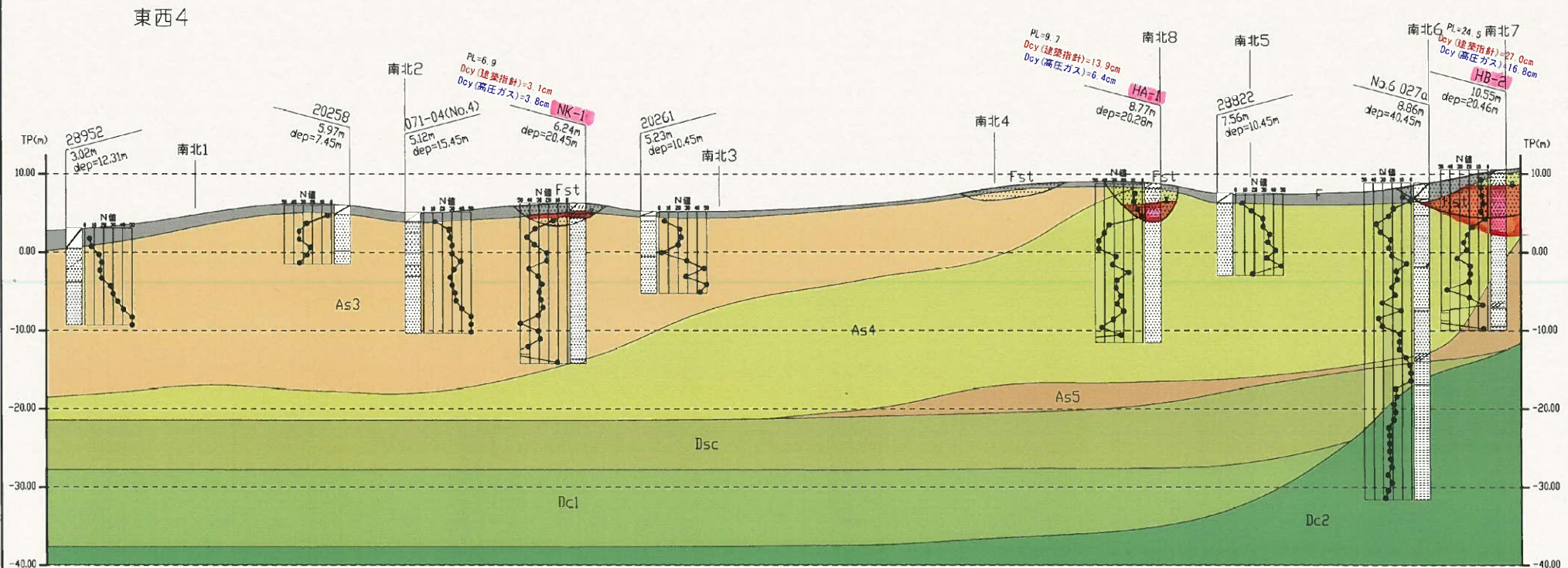
液状化判定想定断面図（地震応答解析 タイプ2）
東西4 V=1/500、H=1/25,000

地層凡例		
人工 地盤	Fst	推定砂鉄採掘跡埋戻し層
	F	埋土・盛土
自然地盤		
完新統	Asd	砂質土層（砂丘性）
	As1	砂質土層
	As2	砂質土層（砂堤性、第Ⅲ砂堤群、1500年前以降に形成）
	As3	砂質土層（砂堤性、第Ⅳ砂堤群、3500年前以降に形成）
	As4	砂質土層（砂堤性、第Ⅴ砂堤群、5000年前以降に形成）
更新統	Ac	粘性土層、有機質土層（潟湖堆積物）
	Acs	粘性土層挟在砂質土層
	As5	砂質土層（砂壩性）
	Dsc	粘性土砂質土層
	Dc1	粘性土層
Dc2	粘性土層（基盤層）	
	Ds	砂質土層（基盤層）
	Dc3	粘性土層（基盤層）

凡例

■ : 液状化検証地点

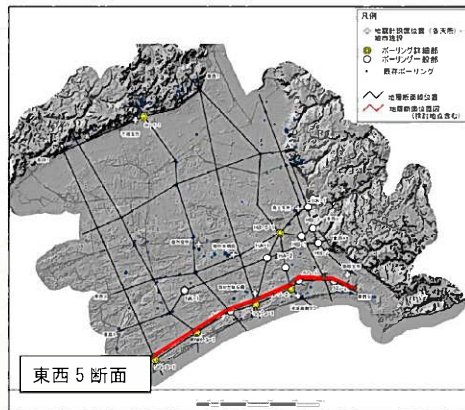
■ : 液状化判定層



地層凡例	
人工地盤	Fst 推定砂鉄探査跡埋戻し層
	F 埋土・盛土
	Asd 砂質土層 (砂丘性)
	As1 砂質土層
完新統	As2 砂質土層 (砂堤性、第Ⅲ砂堤群、1500年前以降に形成)
	As3 砂質土層 (砂堤性、第Ⅳ砂堤群、3500年前以降に形成)
	As4 砂質土層 (砂堤性、第Ⅴ砂堤群、5000年前以降に形成)
自然地盤	Ac 粘性土層、有機質土層 (潟湖堆積物)
	Acs 粘性土層挟在砂質土層
	As5 砂質土層 (砂堤性)
更新統	Dsc 粘性土砂質土互層
	Dc1 粘性土層
	Dc2 粘性土層 (基盤層)
	Ds 砂質土層 (基盤層)
	Dc3 粘性土層 (基盤層)

液状化判定想断面図（地震応答解析 タイプ2）

東西5 V=1/500、H=1/25,000



凡例

- 液状化検証地点
- 液状化判定層

